

Comment empêcher les oiseaux de voler ?

Introduction aux schémas numériques pour Navier-Stokes
et au contrôle des équations semilinéaires paraboliques

Averil PROST

sous la direction de

Antoine Tonnoir & Nicolas Forcadel

Table of Contents

Navier-Stokes

Cas continu

Cas discret

Équations paraboliques

Non-linéarités monotones

Contrôle

Applications

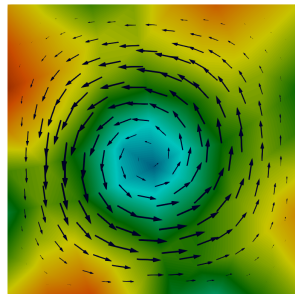
Problème direct

Problème de contrôle

Le modèle

Soient

- $\Omega \subset \mathbb{R}^n$, $n = 2$, de frontière Γ
- $p : \Omega \times [0, T] \rightarrow \mathbb{R}$ la pression,
- $u : \Omega \times [0, T] \rightarrow \mathbb{R}^n$ la vitesse.

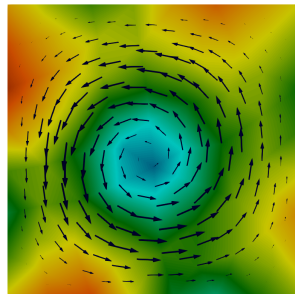


Le modèle

Soient

- $\Omega \subset \mathbb{R}^n$, $n = 2$, de frontière Γ
- $p : \Omega \times [0, T] \rightarrow \mathbb{R}$ la pression,
- $u : \Omega \times [0, T] \rightarrow \mathbb{R}^n$ la vitesse.

$$\left\{ \begin{array}{lcl} \partial_t u - \nu \Delta u + (u \cdot \nabla) u + \nabla p & = & f \\ \operatorname{div}(u) & = & 0 \\ \tau_\Gamma u & = & 0 \\ u(0, \cdot) & = & u_0 \end{array} \right.$$



Navier-Stokes continu

Deux visions :

- Espaces classiques avec pression
- Espaces $\mathbb{V} = \overline{\{u \in \mathcal{D}(\Omega) \mid \operatorname{div} u = 0\}}$ dans H^1 , \mathbb{H} dans L^2

Navier-Stokes continu

Deux visions :

- Espaces classiques avec pression
- Espaces $\mathbb{V} = \overline{\{u \in \mathcal{D}(\Omega) \mid \operatorname{div} u = 0\}}$ dans H^1 , \mathbb{H} dans L^2

Théorème – Existence et unicité (J. L. Lions [Lio69])

En dimension 2, la formulation variationnelle

$$\langle \partial_t u, v \rangle + a(u, v) + c(u; u, v) = \langle f, v \rangle \quad \forall v$$

$$u(0, \cdot) = u_0$$

est bien posée dans $L^2(0, T; \mathbb{V}) \cap \mathcal{C}([0, T]; \mathbb{H})$.

Navier-Stokes continu

Terme non linéaire Soient $u, v, w \in H^1(\Omega)$.

$$c(u; v, w) := ((u \cdot \nabla)v, w)_{L^2(\Omega)} = \sum_{i,j=1}^n \int_{\Omega} u_j \frac{\partial v_i}{\partial x_j} w_i$$

Navier-Stokes continu

Terme non linéaire Soient $u, v, w \in H^1(\Omega)$.

$$c(u; v, w) := ((u \cdot \nabla)v, w)_{L^2(\Omega)} = \sum_{i,j=1}^n \int_{\Omega} u_j \frac{\partial v_i}{\partial x_j} w_i$$

- trilineaire

Navier-Stokes continu

Terme non linéaire Soient $u, v, w \in H^1(\Omega)$.

$$c(u; v, w) := ((u \cdot \nabla)v, w)_{L^2(\Omega)} = \sum_{i,j=1}^n \int_{\Omega} u_j \frac{\partial v_i}{\partial x_j} w_i$$

- trilineaire
- majorations par $\|u\|_1 \|v\|_1 \|w\|_1$ et $C \sqrt{\|u\| \|u\|_1} |v|_1 \sqrt{\|w\| \|w\|_1}$

Navier-Stokes continu

Terme non linéaire Soient $u, v, w \in H^1(\Omega)$.

$$c(u; v, w) := ((u \cdot \nabla)v, w)_{L^2(\Omega)} = \sum_{i,j=1}^n \int_{\Omega} u_j \frac{\partial v_i}{\partial x_j} w_i$$

- trilineaire
- majorations par $\|u\|_1 \|v\|_1 \|w\|_1$ et $C \sqrt{\|u\| \|u\|_1} |v|_1 \sqrt{\|w\| \|w\|_1}$
- $c(u; v, w) = -c(u; w, v)$, d'où $c(u; v, v) = 0$ si $u \in \mathbb{V}$

Discrétisation

Soient $X_h \subset H_0^1(\Omega)$, Y_h des espaces de Hilbert de dimension finie.

Schémas Soit $k \in \{n, n-1\}$. $\forall (v, q) \in X_h \times Y_h$,

$$\left(\frac{u^n - u^{n-1}}{\Delta t}, v \right) + a(u^n, v) + \tilde{c}(u^{n-1}; u^k, v) + b(v, p^n) = (f^n, v)$$

$$b(u^n, q) = 0$$

$$u^0 = u_0$$

où $b(v, p) := (v, \nabla p)_{[L^2]^n} = -(\operatorname{div}(v), p)_{L^2}$.

Caractère bien-posé

Soit $V_h = \{v \in X_h \mid b(v, p) = 0 \quad \forall p \in Y_h\}$, et

$$\mu_n(\cdot, \cdot) := \begin{cases} \frac{1}{\Delta t} m(\cdot, \cdot) + a(\cdot, \cdot) & \text{si } k = n - 1 \\ \frac{1}{\Delta t} m(\cdot, \cdot) + a(\cdot, \cdot) + \tilde{c}(u_h^{n-1}; \cdot, \cdot) & \text{si } k = n \end{cases}$$

Le problème restreint à V_h est

$$\mu_n(u^n, v) = F^n(v)$$

Caractère bien-posé

Soit $V_h = \{v \in X_h \mid b(v, p) = 0 \quad \forall p \in Y_h\}$, et

$$\mu_n(\cdot, \cdot) := \begin{cases} \frac{1}{\Delta t} m(\cdot, \cdot) + a(\cdot, \cdot) & \text{si } k = n - 1 \\ \frac{1}{\Delta t} m(\cdot, \cdot) + a(\cdot, \cdot) + \tilde{c}(u_h^{n-1}; \cdot, \cdot) & \text{si } k = n \end{cases}$$

Le problème restreint à V_h est

$$\mu_n(u^n, v) = F^n(v)$$

Bien posé par Lax-Milgram. Quid de p ?

Condition inf-sup

Pb. de représentation Soit $l \in X_h$, trouver $p \in Y_h$ t.q

$$b(v, p) = (v, l)_X \quad \forall v \in V_h^\perp \text{ au sens } (\cdot, \cdot)_X$$

Condition inf-sup

Pb. de représentation Soit $l \in X_h$, trouver $p \in Y_h$ t.q

$$b(v, p) = (v, l)_X \quad \forall v \in V_h^\perp \text{ au sens } (\cdot, \cdot)_X$$

Par Riesz, il existe un unique $L_p \in X_h$ t.q $b(v, p) = (v, L_p)_X$.

Condition inf-sup

Pb. de représentation Soit $l \in X_h$, trouver $p \in Y_h$ t.q

$$b(v, p) = (v, l)_X \quad \forall v \in V_h^\perp \text{ au sens } (\cdot, \cdot)_X$$

Par Riesz, il existe un unique $L_p \in X_h$ t.q $b(v, p) = (v, L_p)_X$.

L'application $L : Y_h \rightarrow X_h$ est

- linéaire de Y_h dans V_h^\perp , qui sont de même dimension
- injective si $\forall p, q, L_p = L_q \implies p = q$
- surjective si $V_h^\perp \setminus \text{Im}(L) = \emptyset$

Condition inf-sup

Cond. de Ladyzhenskaya-Babuška-Brezzi $\exists \beta > 0$ t.q

$$\beta \|p\|_Y \leq \|L_p\|_{X'} = \sup_{v \in X_h \setminus \{0\}} \frac{(v, L_p)_X}{\|v\|_X} = \sup_{v \in X_h \setminus \{0\}} \frac{b(v, p)}{\|v\|_X}$$

Condition inf-sup

Cond. de Ladyzhenskaya-Babuška-Brezzi $\exists \beta > 0$ t.q

$$\beta \|p\|_Y \leq \|L_p\|_{X'} = \sup_{v \in X_h \setminus \{0\}} \frac{(v, L_p)_X}{\|v\|_X} = \sup_{v \in X_h \setminus \{0\}} \frac{b(v, p)}{\|v\|_X}$$

- injectivité directe : $\|p - q\|_Y \leq \beta^{-1} \|L_p - L_q\|_{X'}$
- ou surjectivité :
 - $Im(L)$ maintenant fermée : on a $V_h^\perp = Im(L) \oplus Im(L)^\perp$
 - pour $v \in Im(L)^\perp$, $0 = (v, L_p)_X = b(v, p) \implies v \in V_h \cap V_h^\perp$

d'où L est maintenant bijective : formulation bien posée.

Table of Contents

Navier-Stokes

Cas continu

Cas discret

Équations paraboliques

Non-linéarités monotones

Contrôle

Applications

Problème direct

Problème de contrôle

Quelques définitions

Problème de référence

$$\begin{aligned}\partial_t u(x, t) - \Delta u(x, t) + d(x, t, u(x, t)) &= f(x, t) & \Omega \times]0, T[\\ \partial_\nu u(\sigma, t) + b(\sigma, t, u(\sigma, t)) &= g(\sigma, t) & \partial\Omega \times]0, T[\\ u(x, 0) &= u_0(x) & \Omega\end{aligned}$$

ou plus synthétiquement $\mathcal{T}(u) = (f, g, u_0)^t$.

Quelques définitions

Espace de la solution

$$W(0, T) := \{u \in L^2(0, T; H^1(\Omega)) \mid \partial_t u \in L^2(0, T; H^{-1}(\Omega))\}$$

Quelques définitions

Espace de la solution

$$W(0, T) := \{u \in L^2(0, T; H^1(\Omega)) \mid \partial_t u \in L^2(0, T; H^{-1}(\Omega))\}$$

Hypothèses ($b(x, t, u)$ et $d(x, t, u)$ traitées symétriquement) :

- mesurabilité par rapport à (x, t)
- bornes uniformes en $u = 0$
- globalement Lipschitz par rapport à u p.p (x, t)

Quelques définitions

Espace de la solution

$$W(0, T) := \{u \in L^2(0, T; H^1(\Omega)) \mid \partial_t u \in L^2(0, T; H^{-1}(\Omega))\}$$

Hypothèses ($b(x, t, u)$ et $d(x, t, u)$ traitées symétriquement) :

- mesurabilité par rapport à (x, t)
- bornes uniformes en $u = 0$
- globalement Lipschitz par rapport à u p.p (x, t)
- monotonie (croissante) par rapport à u (relaxation possible)

Place de la monotonie

- Non-linéarité escamotée dans les inégalités d'énergie :

$$(d(\cdot, u), u) = \underbrace{(d(\cdot, u) - d(\cdot, 0), u - 0)}_{\geq 0} + (d(\cdot, 0), u - 0)$$

Place de la monotonie

- Non-linéarité escamotée dans les inégalités d'énergie :

$$(d(\cdot, u), u) = \underbrace{(d(\cdot, u) - d(\cdot, 0), u - 0)}_{\geq 0} + (d(\cdot, 0), u - 0)$$

- Decisive monotonicity trick [Zei89] :

$$u_m \rightharpoonup u, \quad A(u_m) \rightharpoonup b, \quad \overline{\lim}_{m \rightarrow \infty} \langle A(u_m), u_m \rangle \leq \langle b, u \rangle$$

suffisent pour avoir $A(u) = b$.

Problème

On introduit

- $A \subset L^\infty$ un espace de contrôles convexe fermé
- $J(u, \alpha)$ une fonction continue, convexe en α et bornée

et le problème de contrôle

$$\min_{\alpha \in A, \mathcal{T}(u)=\alpha} J(u, \alpha)$$

Soit A est borné, soit J est coercive : problème bien posé.

Adjoint

Posons

$$\mathcal{L}(u, \alpha, w) := J(u, \alpha) - \langle w, \mathcal{T}(u) - \alpha \rangle$$

Équation adjointe Par minimisation sans contrainte,

$$\partial_u J(u, \alpha) = (\partial_u \mathcal{T}(u))^* w$$

Adjoint

Posons

$$\mathcal{L}(u, \alpha, w) := J(u, \alpha) - \langle w, \mathcal{T}(u) - \alpha \rangle$$

Équation adjointe Par minimisation sans contrainte,

$$\partial_u J(u, \alpha) = (\partial_u \mathcal{T}(u))^* w$$

ce qui amène

$$D_\alpha J(u(\alpha), \alpha) = \partial_\alpha J(u(\alpha), \alpha) + w$$

Descente de gradient possible. À l'ordre 2, méthode de Newton.

Table of Contents

Navier-Stokes

Cas continu

Cas discret

Équations paraboliques

Non-linéarités monotones

Contrôle

Applications

Problème direct

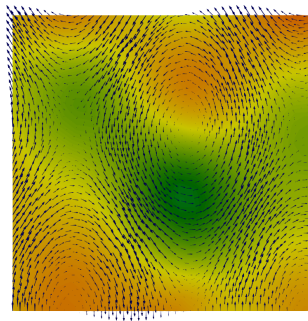
Problème de contrôle

Un exemple inédit

Code LIB/Insta. Soit $u := \text{rot} \{ (\sin(8x) + \cos(5x)) \sqrt{t + 0.01} \}$

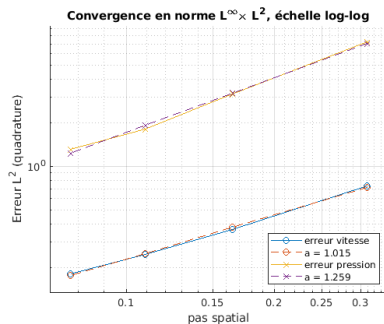
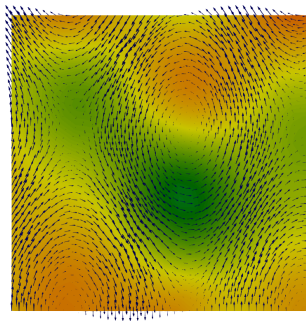
Un exemple inédit

Code LIB/Insta. Soit $u := \text{rot} \{ (\sin(8x) + \cos(5x)) \sqrt{t + 0.01} \}$



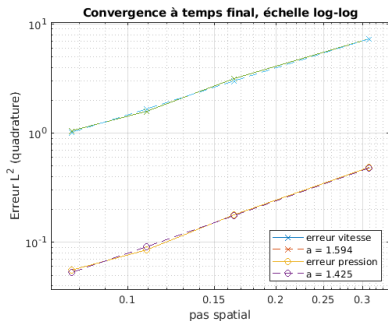
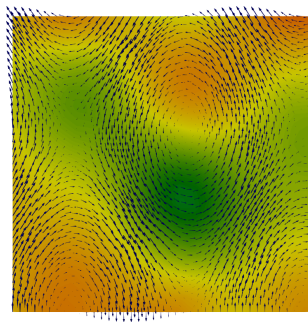
Un exemple inédit

Code LIB/Insta. Soit $u := \text{rot} \left\{ (\sin(8x) + \cos(5x)) \sqrt{t + 0.01} \right\}$



Un exemple inédit

Code LIB/Insta. Soit $u := \text{rot} \left\{ (\sin(8x) + \cos(5x)) \sqrt{t + 0.01} \right\}$



Dans le futur

- Algorithmes de résolution du système linéaire

Dans le futur

- Algorithmes de résolution du système linéaire
- Parallélisation des évaluations de \tilde{c}

Dans le futur

- Algorithmes de résolution du système linéaire
- Parallélisation des évaluations de \tilde{c}
- Autres éléments finis : $\mathbb{P}^1 \cup \{\text{bulle}\}$ pour la vitesse

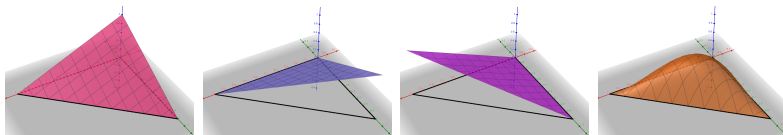


Figure – Fonctions de base de $\mathbb{P}^1 \cup \{\text{bulle}\}$

Empêcher les oiseaux de voler

On considère

$$J(u, f) := \frac{1}{2} \|u - U_Q\|_Q^2 + \frac{\beta}{2} \|f\|_Q^2 + \frac{\gamma}{2} \|u(T, \cdot) - U_Q(T, \cdot)\|_\Omega^2$$

Empêcher les oiseaux de voler

On considère

$$J(u, f) := \frac{1}{2} \|u - U_Q\|_Q^2 + \frac{\beta}{2} \|f\|_Q^2 + \frac{\gamma}{2} \|u(T, \cdot) - U_Q(T, \cdot)\|_\Omega^2$$

Descente de gradient en utilisant le problème adjoint ([GM00]).

Algorithme – Gradient

Choisir (u^0, α^0)

Tant que critère d'arrêt non satisfait

Déterminer w^n à partir de (u^n, α^n) (\leftarrow)

Déterminer $\alpha^{n+1} := \alpha^n - s(w^n + \partial_\alpha \Phi(u^n, \alpha^n))$

Déterminer u^{n+1} à partir de α^{n+1} (\rightarrow)

Ajuster s

Empêcher les oiseaux de voler

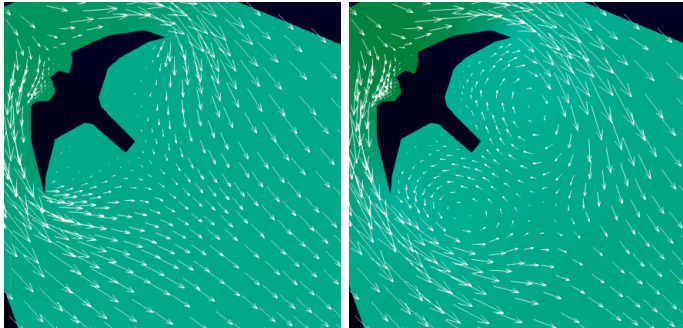


Figure – Objectif et résultat pour $\beta = 1.0$

Empêcher les oiseaux de voler

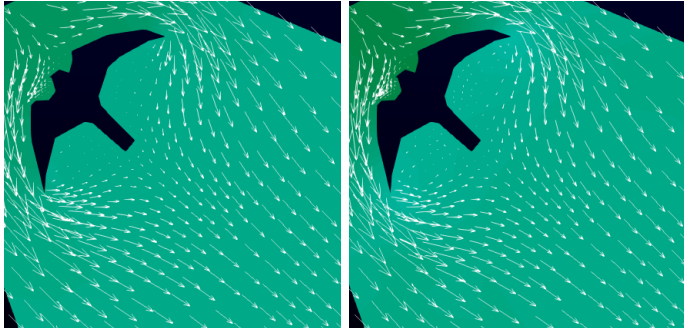


Figure – Objectif et résultat pour $\beta = 0.01$

Empêcher les oiseaux de voler

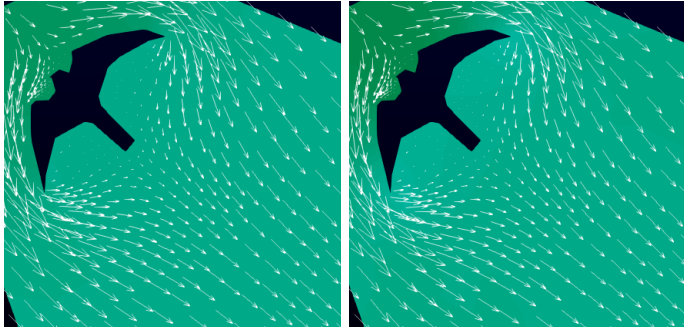


Figure – Objectif et résultat pour $\beta = 0.0001$

Contrôle au bord

Méthode de Newton le long de la courbe $J(u(\alpha), \alpha)$. Amène

$$\begin{aligned} \min_{\alpha \in A} & (\partial_u J, (\partial_\alpha u, \alpha - \alpha^n)) + (\partial_\alpha J, \alpha - \alpha^n) \\ & + \frac{1}{2} \left(\partial_{u,\alpha}^2 \mathcal{L}(u, \alpha, w), ((\partial_\alpha u, \alpha - \alpha^n), \alpha - \alpha^n)^2 \right) \end{aligned}$$

Contrôle au bord

Méthode de Newton le long de la courbe $J(u(\alpha), \alpha)$. Amène

$$\min_{\alpha \in A} (\partial_u J, (\partial_\alpha u, \alpha - \alpha^n)) + (\partial_\alpha J, \alpha - \alpha^n) \\ + \frac{1}{2} \left(\partial_{u,\alpha}^2 \mathcal{L}(u, \alpha, w), ((\partial_\alpha u, \alpha - \alpha^n), \alpha - \alpha^n)^2 \right)$$

- Minimisation en (z, α) sous contrainte $(\partial_\alpha u, \alpha - \alpha^n) = z$
- Discrétisation par différences finies d'un problème 1D en espace
- Implémentation en Matlab avec quadprog

Contrôle au bord

Considérons $\Omega =]0, l[\subset \mathbb{R}$ et la fonctionnelle

$$J(u, g) = \frac{1}{2} \iint_{\Sigma} [u(t, \sigma) - (1.2 - t) \cos(t(15 + 5\delta_{\sigma=l}))]^2 d\sigma dt$$

soumise à la contrainte

$$\begin{cases} \partial_t u - \Delta u + u &= 0 & \text{sur }]0, T[\times \Omega \\ \partial_\nu u + \exp(tu) &= g & \text{sur }]0, T[\times \Omega \\ u(0, x) &= 1.2 & \text{sur } \Omega \end{cases}$$

Contrôle au bord

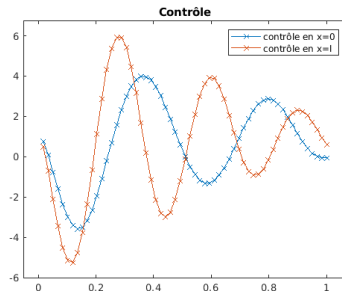
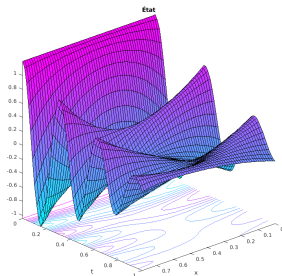


Figure – Résultats en 4 itérations, $M = N = 50$, $J = 4.55 \times 10^{-14}$

MERCI



M. D. Gunzburger and S. Manservigi.

Analysis and Approximation of the Velocity Tracking Problem for Navier-Stokes Flows with Distributed Control.

SIAM Journal on Numerical Analysis, 37(5) :1481–1512, 2000.



Jacques-Louis Lions.

Quelques méthodes de résolution des problèmes aux limites non linéaires.

Les cours de référence. Dunod, Paris, 1969.



Eberhard Zeidler.

Nonlinear Functional Analysis and Its Applications. 2B : Nonlinear Monotone Operators.

Springer, New York Berlin Heidelberg, nachdr. edition, 1989.